



Universidad Nacional de Ingeniería  
Facultad de Ingeniería Económica, Estadística y Ciencias Sociales  
Escuela Profesional de Ingeniería Estadística

*Implementación del Modelo ETAS para la Simulación de Réplicas en la placa de Nazca*

---

# **Implementation of the ETAS Model for the Simulation of Aftershocks on the Nazca Plate**

---

LIN CHIU CHEN YANG



**Figure 1.** ¿Pueden los animales predecir los terremotos? (Woith et al., 2018), fotografía de (Trinity Kubassek., 2017) con licencia libre CC0.

# Capítulo 1

## Presentación

---

### 1. Introducción

- 1.1 Contexto
- 1.2 Problema de Investigación
- 1.3 Motivación
- 1.4 Objetivos
  - 1.4.1 Objetivos Generales
  - 1.4.2 Obejetivos Específicos

## 1. Introducción

- 1.1 Contexto
- 1.2 Problema de Investigación
- 1.3 Motivación
- 1.4 Objetivos
  - 1.4.1 Objetivos Generales
  - 1.4.2 Obejetivos Específicos

“ ¿ Es posible la predicción de terremotos ? ”

Geller, R. J. (1997).

## 1. Introducción

- 1.1 Contexto
- 1.2 Problema de Investigación
- 1.3 Motivación y Justificación
- 1.4 Objetivos
  - 1.4.1 Objetivos Generales
  - 1.4.2 Obejetivos Específicos
- 1.5 Hipótesis

- Por qué es importante
- Que limitaciones anteriores aborda
- Que contribución aporta
- En que consiste



**Figure 2.** Terremoto Siria Turquia febrero de 2023 de magnitud 7,8  $M_w$ , para mayo del mismo año ha generado más de 30 000 réplicas , fotografía de (Ahmed akacha.,2023) con licencia libre.

## **1. Introducción**

1.1 Contexto

1.2 Problema de Investigación

1.3 Motivación

1.4 Objetivos

1.4.1 Objetivos Generales

1.4.2 Obejetivos Específicos

1.5 Hipótesis

### **Objetivo General**

Desarrollar y replicar el modelo ETAS (Epidemic-Type Aftershock Sequence) para simular réplicas sísmicas seleccionando como región la costa del Pacífico.

### **Objetivos Específicos**

- Revisión Teórica y Metodológica
- Implementación del Modelo ETAS
- Aplicación a Datos Reales
- Evaluación y Comparación

# Capítulo 2

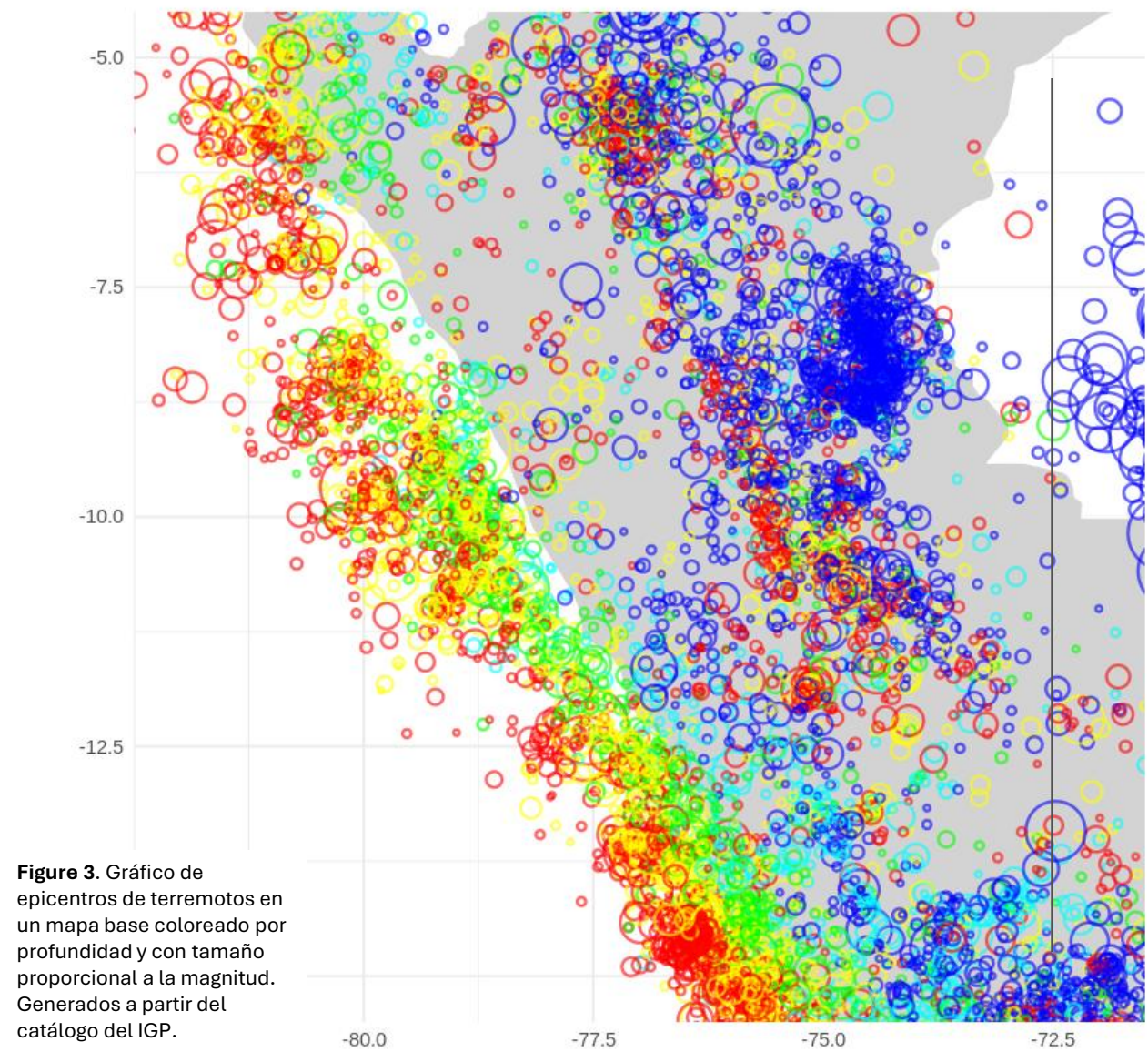
## Metodología

### 2. Literatura

- 2.1 Antecedentes
- 2.2 Marco Teórico
- 2.3 Hipótesis

### 3. Metodología

- 3.1 Tipo de Investigación
- 3.2 Matriz de Consistencia
- 3.3 Comprensión de Datos
- 3.4 Preparación de Datos
- 3.5 Ajuste del Modelo



# Hawkes processes

Un proceso de Hawkes univariado se define como un proceso puntual temporal autoexcitado cuya función de intensidad condicional se define como:

$$\lambda^*(t) = \mu(t) + \sum_{t_i < t} \phi(t - t_i)$$

La constante  $\mu$  es intensidad de fondo y  $\phi$  función de excitación. Existen múltiples funciones de excitación según el diseño del modelo, la más común es el decaimiento exponencial.

$$\phi(t) = \alpha e^{-\beta t}$$

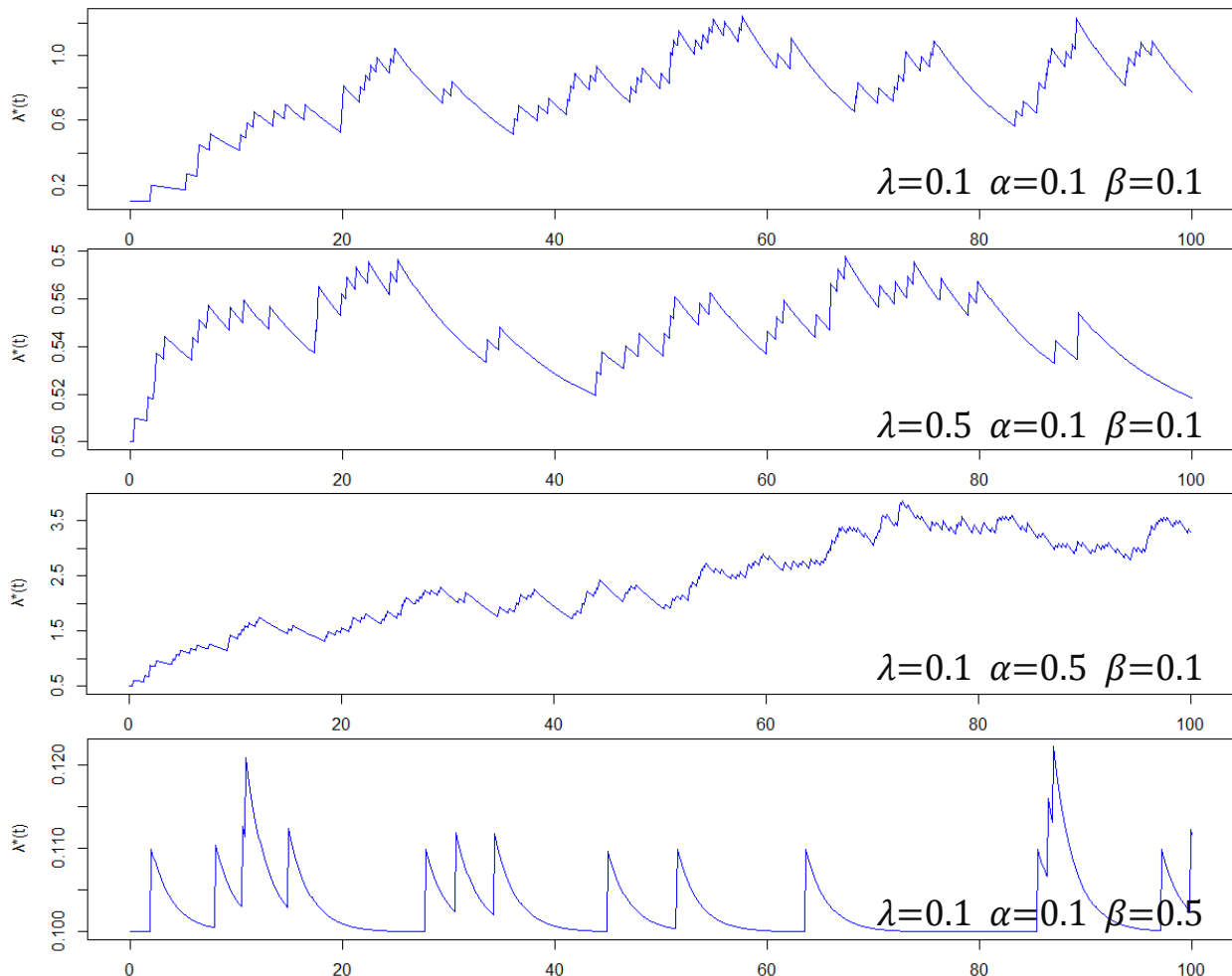


Figure 6. Representación gráfica de un proceso Hawkes generado mediante R.

# Epidemic-Type Aftershock Sequence ETAS model

$$s(m) = \beta e^{-\beta(m-m_0)}$$

$$\kappa(m) = Ae^{\alpha(m-m_0)}$$

$$g(t) = \frac{p-1}{c} \left(1 + \frac{t}{c}\right)^{-p}$$

**modelo temporal**

$$\lambda(t, m) = s(m) \left[ \mu + \sum_{i: t_i < t} \kappa(m_i) g(t - t_i) \right]$$

$$f(x, y | m) = \frac{1}{\pi \sigma(m)} f \left( \frac{x^2 + y^2}{\sigma(m)} \right)$$

**modelo espacio-temporal**

$$\lambda(t, x, y, m) = s(m) \left[ \mu(x, y) + \sum_{\{k: t_k < t\}} \kappa(m_k) g(t - t_k) f(x - x_k, y - y_k; m_k) \right]$$

# HIPOTESIS

## Hipótesis General

El modelo ETAS describe adecuadamente la generación de réplicas en la Placa de Nazca.

## Hipótesis Específicas

- Los parámetros ETAS serán consistentes e interpretables.
- Las simulaciones reproducen patrones temporales similares a los datos reales.
- El modelo cuantifica el nivel de autoexcitación sísmica de la región.

## Tipo de Investigación

**Tipo de Investigación:** Cuantitativa, Aplicada y Explicativa

**Nivel de investigación:** Correlacional – Explicativo

**Poblacion:** Todos los eventos sísmicos (réplicas) registrados en la región de interacción entre la Placa de Nazca y la Placa Sudamericana.

**Muestra:** Eventos sísmicos registrados por el Instituto Geofísico del Perú (IGP) en la región específica seleccionada para el estudio.

# Matriz de Consistencia

PROBLEMAS	OBJETIVOS	HIPOTESIS	VARIABLES	DIMENSIONES	INDICADORES	METODOLOGIA
GENERAL: ¿El modelo ETAS puede describir y simular adecuadamente las réplicas sísmicas en la zona de subducción de la Placa de Nazca?	GENERAL: Desarrollar y replicar el modelo ETAS para simular réplicas sísmicas en la costa del Pacífico.	GENERAL: El modelo ETAS describirá adecuadamente la dinámica de generación de réplicas sísmicas en la zona de subducción.	Variable dependiente: Secuencia de réplicas sísmicas. Variables independientes: Parámetros ETAS ( $\mu$ , K, $\alpha$ , c, p).	Tasa base, productividad, declinamiento temporal, autoexcitación.	$\mu$ (tasa base), K (productividad), $\alpha$ , c, p.	Tipo de estudio: Descriptivo-correlacional. Diseño: No experimental. Técnicas: Análisis estadístico de procesos puntuales. Método: Estimación paramétrica y simulación ETAS.
ESPECÍFICO 1: ¿Los parámetros estimados mediante ETAS reflejan la dinámica sísmica local?	OE1: Obtener parámetros consistentes e interpretables mediante la estimación del modelo ETAS.	HE1: Los parámetros estimados serán consistentes e interpretables para la región.	Parámetros estimados del modelo.	Parámetros del modelo ETAS.	Consistencia de parámetros / Interpretabilidad física.	Comparación de parámetros estimados con literatura. Validación estadística.
ESPECÍFICO 2: ¿Las simulaciones ETAS reproducen patrones temporales similares a los datos reales?	OE2: Validar la capacidad del modelo ETAS para reproducir patrones temporales similares a los datos reales.	HE2: Las simulaciones ETAS reproducirán patrones temporales similares a los datos reales.	Patrones temporales simulados vs reales.	Distribución temporal de eventos.	Similitud en distribución de tiempos entre eventos.	Simulaciones vs datos reales. Comparación basada en distancia temporal.
ESPECÍFICO 3: ¿El modelo ETAS permite cuantificar el nivel de autoexcitación y productividad sísmica en la región.	OE3: Cuantificar el nivel de autoexcitación y productividad sísmica en la región.	HE3: El modelo permitirá cuantificar el nivel de autoexcitación y productividad sísmica local.	Nivel de autoexcitación y productividad.	Productividad sísmica — Nivel de eventos secundarios.	Número de réplicas generadas / parámetro de autoexcitación.	Medición de productividad mediante parámetros del modelo.

## Comprendiendo los Datos

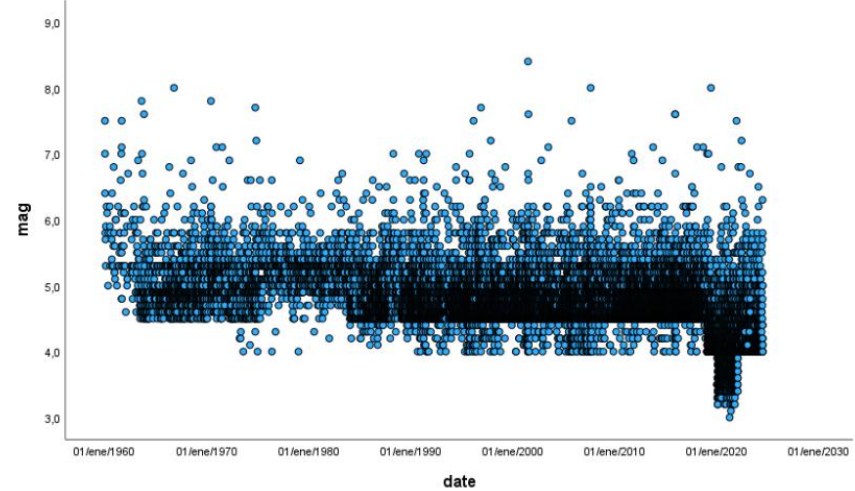


Figura 8. Diagrama de dispersión de magnitudes de eventos con el tiempo.

Table 1. Ejemplo de un catálogo de terremotos

Event	Date	Time	Longitude	Latitude	Depth	Magnitude
1	1998-01-06	15:39:31.00	-75.82	-14.15	49	4.20
2	1998-01-06	20:01:50.90	-70.34	-18.10	188	4.80
3	1998-01-10	17:02:56.00	-80.28	-4.19	36	5.10
:	:	:	:	:	:	:
100	1998-07-25	08:57:26.90	-69.14	-16.83	67	4.90
101	1998-07-29	13:34:14.00	-74.65	-14.98	96	4.70

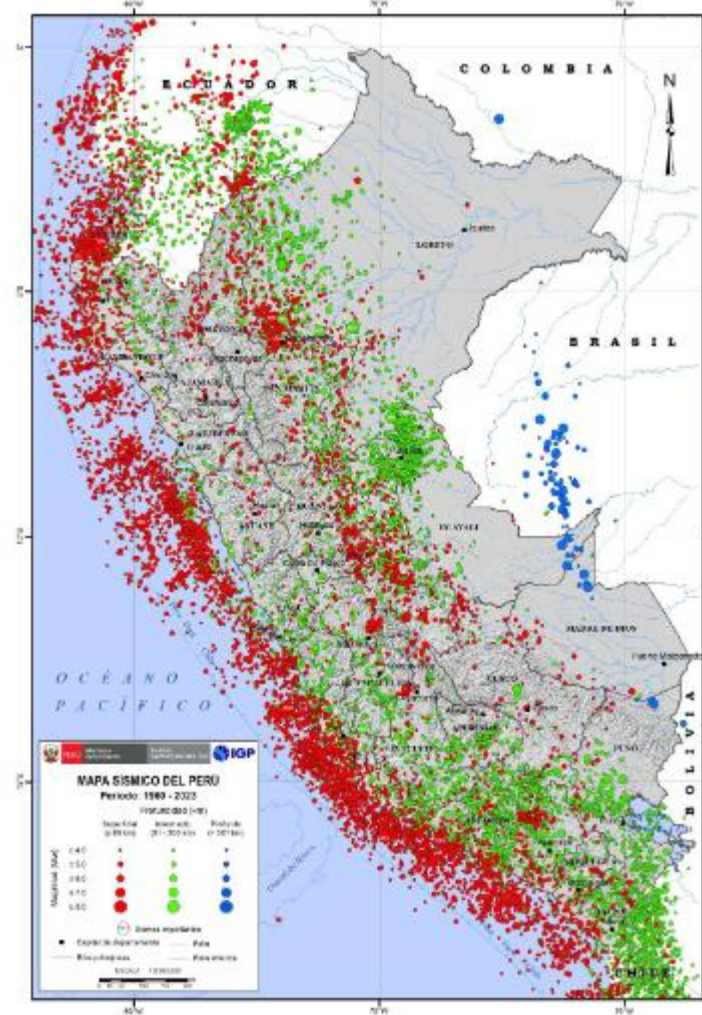


Figure 9. Mapa Sísmico del Perú 1960 - 2023 CENSIS,2023,

## Ajuste del Modelo

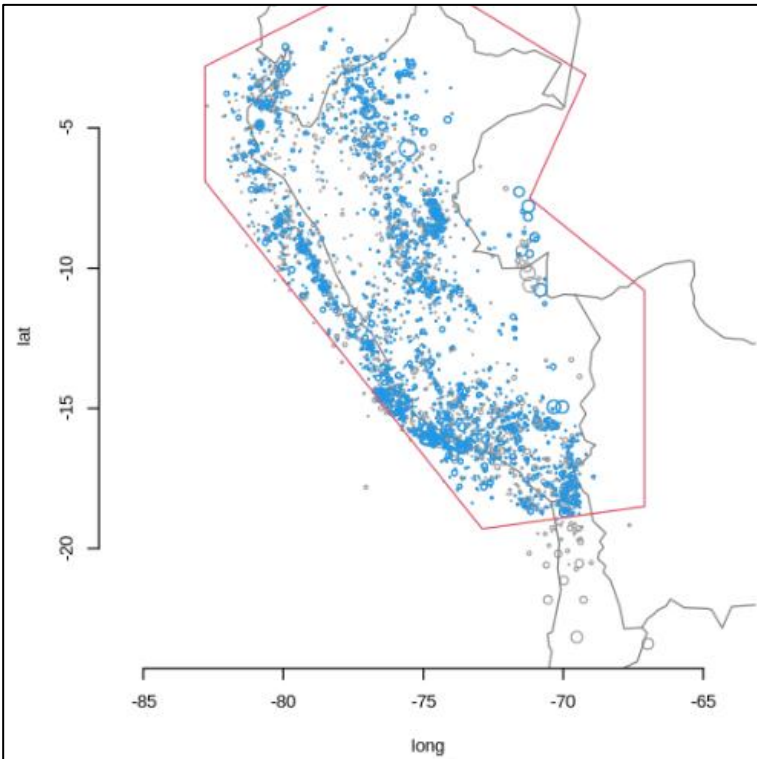


Figure 10. Polígono de estudio para nuestro modelo ETAS,

point	longitude	latitude
1	-82.8	-2.8
2	-82.8	-6.9
3	-72.9	-19.3
4	-67.1	-18.5
5	-67.1	-10.8
6	-71.2	-7.5
7	-69.2	-3.1
8	-75.6	0.8

Table 2. Coordenadas de los puntos

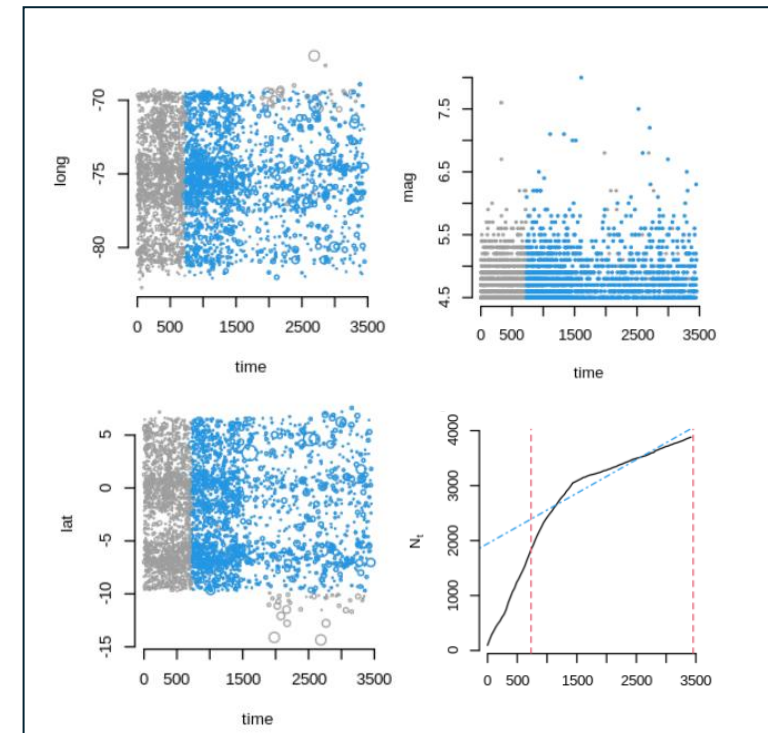
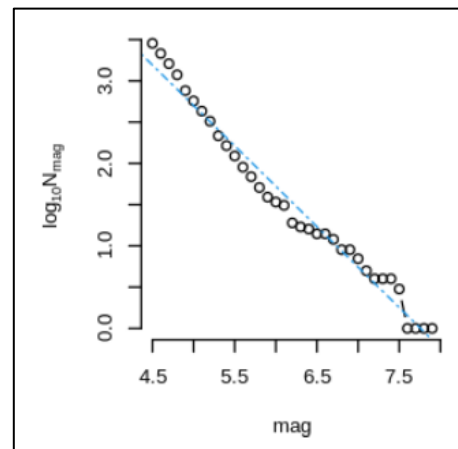


Figure 11. Datos en la ventana de estudio,

# Capítulo 3

## Conclusiones

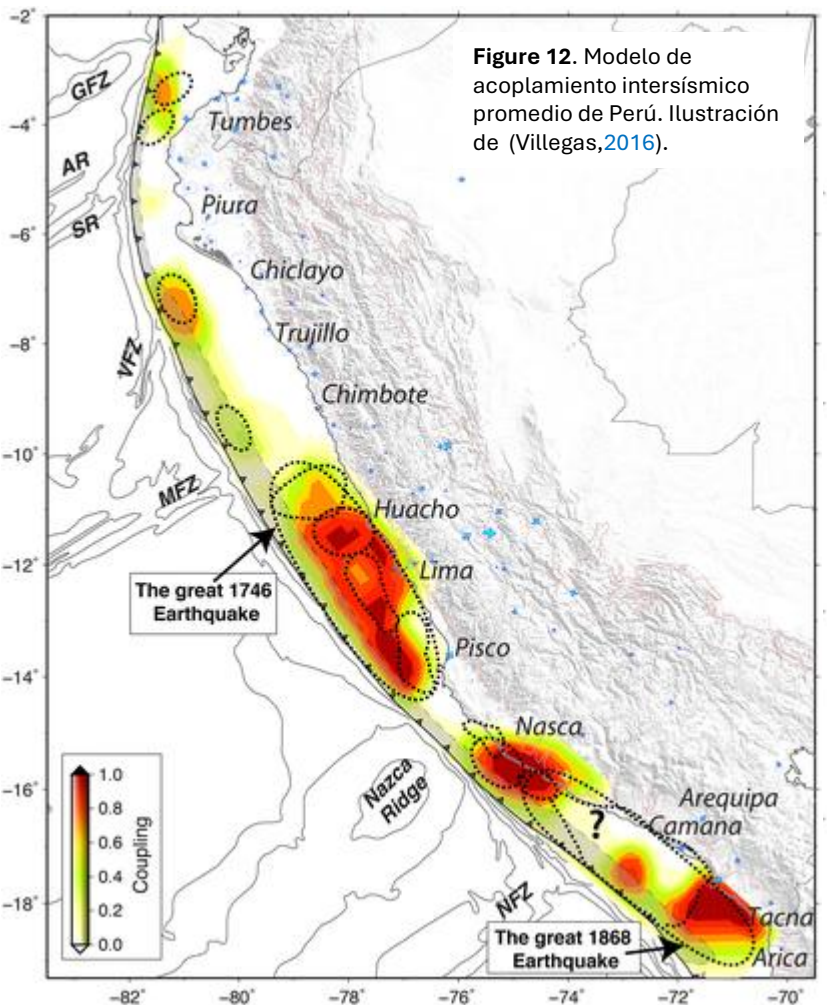
### 4. Resultados

#### 4.1 Resultados

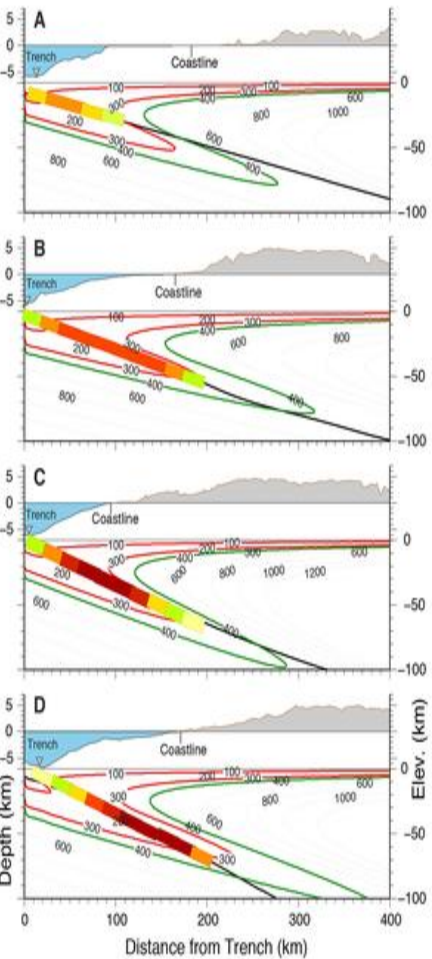
### 5. Conclusiones

#### 5.1 Conclusiones

#### 5.2 Agradecimientos



**Figura 12.** Modelo de acoplamiento intersísmico promedio de Perú. Ilustración de (Villegas, 2016).



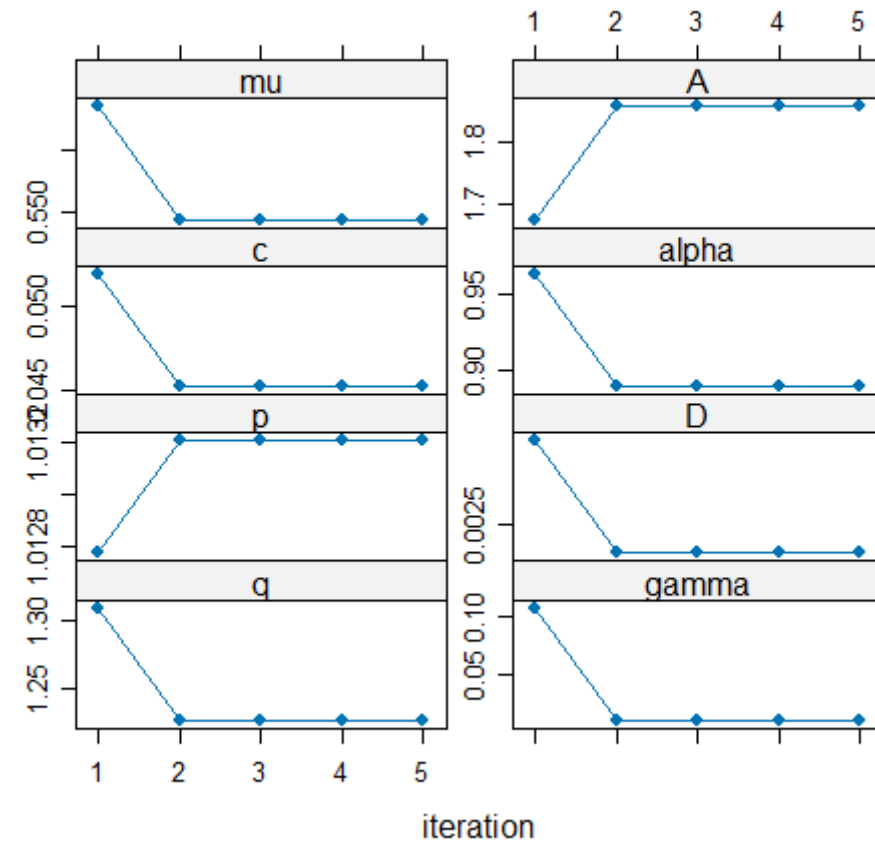
## Resultados

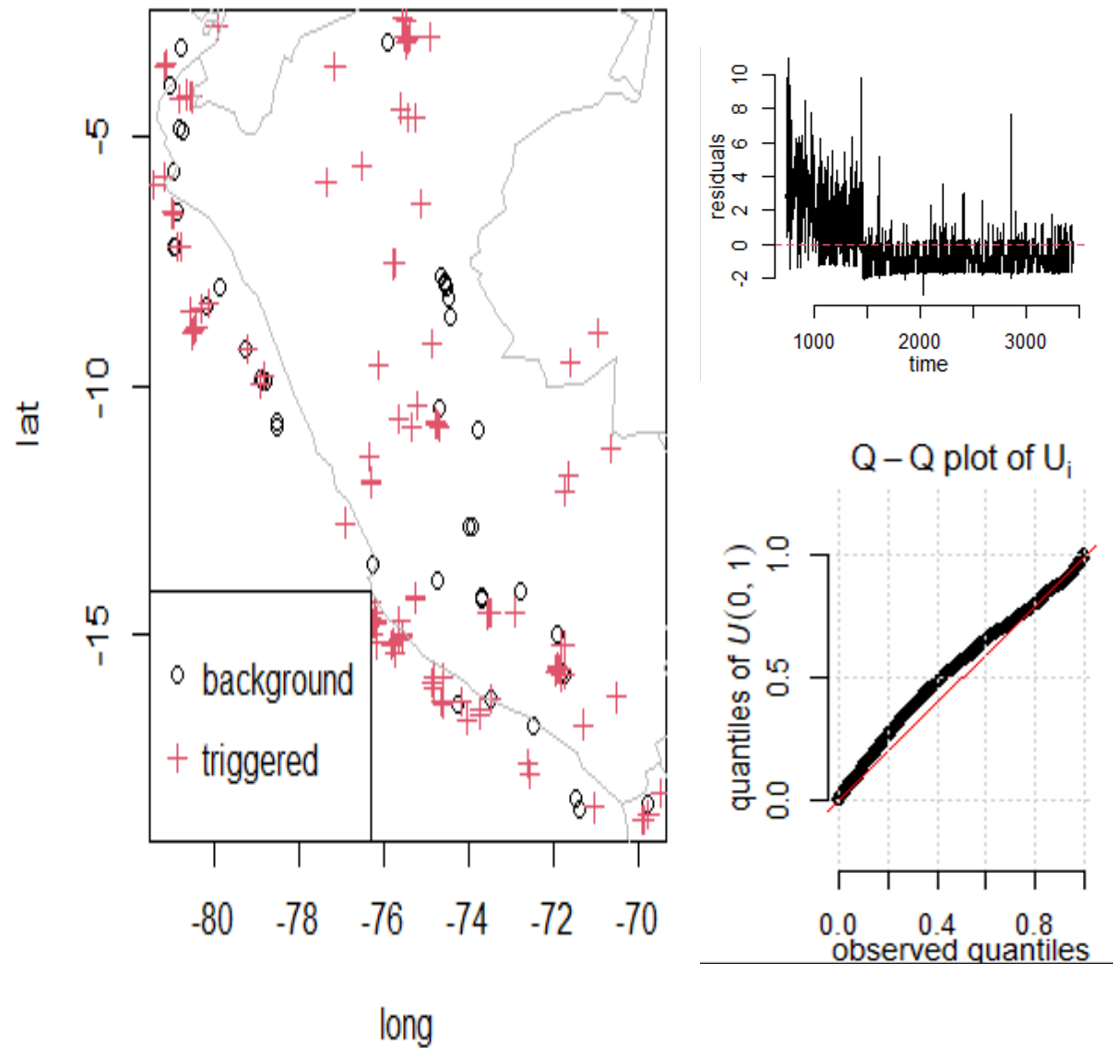
Luego de ajustar nuestros parámetros el modelo ETAS: ajustado mediante el método iterativo de desagrupación estocástica convergió después de 5 iteraciones tiempo de ejecución transcurrido 18,4 minutos procesado paralelamente en un procesador octacore Intel Core i5 decima generación:

**Table 2.** Resultados del ajuste de parámetros

ML estimates of model parameters:							
$\hat{\theta}$	$\beta$	$\mu$	A	c	$\alpha$	p	D
3.3243	0.5497	1.8560	0.0453	0.8895	1.0132	0.0023	
SE	0.0053	0.0084	0.0276	0.0662	0.0213	0.0003	0.0732
Declustering Probabilities							
Min.	1st Qu.	Median	Mean	3rd Qu.	Max.		
0.0000	0.5188	0.7382	0.6490	0.8512	1.0000		
log-likelihood:		-10361.76		AIC:		20739.53	

estimates of the model parameters





## Conclusiones

De los puntos planteados anteriormente se pudo desarrollar con éxito el modelo ETAS pero según los resultados la prueba de bondad de ajuste de Kolmogorov-Smirnov indica que  $U_j$  no sigue una distribución  $U(0, 1)$  con un p-value de  $8.438e-12$  el modelo ajustado aún no es capaz de describir con detalle la compleja agrupación espacial de los terremotos. Podría existir anomalía en la sismicidad de la región, se sospecha que son originados por los datos depurados. En el punto de vista de la literatura la revisión teórica y metodologías empleadas por otros investigadores se aconseja modificar método de estimación de parámetros como la bayesiana o encontrar otra variante de función de activación. Por último la sismicidad de cada región es distinta por lo cual existe múltiples métodos para modelarla.